

## 유전체 덮개 양자우물 무질서공정에서 $\text{SiN}_x$ 덮개층 성장시 $\text{NH}_3$ 유량비 조절을 통한 InGaAs/InGaAsP 양자우물의 밴드갭 조절

최원준, \*이희택, 우덕하, 이석, 김선호, \*조재원

한국과학기술연구원, 광기술연구센터

\* 광운대학교, 전자물리학과

wjchoi@kist.re.kr

유전체 덮개층을 이용한 impurity free vacancy disordering (IFVD) 기술에 의한 양자우물구조의 밴드갭 조절기술은 양자우물을 갖는 광소자의 제작 및 광소자들의 한판 집적에 광범위하게 적용되어 왔다<sup>(1-3)</sup>. IFVD 기술의 핵심은 유전체 덮개층의 종류 및 그 특성을 적절히 조절함으로써 양자우물의 밴드갭 및 굴절율을 양자우물 기판상에서 공간적으로 조절하는 기술에 있다. 이러한 목적을 위해  $\text{SiN}_x$ ,  $\text{SiO}_2$ ,  $\text{SrF}_2$  및  $\text{WN}_x$ 와 같은 많은 유전체 덮개층에 관한 실험들이 진행되었다<sup>(1-6)</sup>.

일반적으로  $\text{SiN}_x$  덮개층은 GaAs/AlGaAs 계에서와는 달리 InGaAs/InP 계에서는 양자우물 무질서화를 증강시켜 밴드갭의 청색변이를 크게 한다<sup>(2,3)</sup>. 비록 일반적으로  $\text{SiN}_x$  박막이 GaAs/AlGaAs 계에서 양자우물 무질서화를 억제시키는 것으로 알려져 있긴 하지만, PECVD 방법에 의해 박막의 성장시 그 특성을 바꾸어 주는 경우, 양자우물 무질서도를 조절할 수 있는 것으로 알려져 있다<sup>(7-9)</sup>. 본 연구에서는  $\text{SiN}_x$  박막의 특성변화가 InGaAs/InGaAsP 양자우물계에 미치는 영향을 살피기 위해, PECVD 방법에 의한  $\text{SiN}_x$  덮개층의 성장시 활성화가스를 조정함으로써, 박막의 특성을 변화시키고 이것이 InGaAs/InGaAsP 양자우물의 IFVD에 미치는 영향에 대해 연구하였다.

실험에 사용된 InGaAs/InGaAsP 양자우물구조는 CBE법으로 n-InP상에 성장했으며, 7 nm 두께의 InGaAs 우물과 이를 둘러싼 InGaAsP(1.3Q) 장벽층으로 이루어져 있다. 모든 층은 InP와 격자정합된 구조이며, 상온에서의 양자우물의 PL은 1540 nm에서 피크치를 나타낸다. PECVD 방법으로 성장시  $\text{SiN}_x$ 의 특성을 변화시키기 위해  $\text{SiH}_4$  가스의 유량비를 20 sccm으로 고정하고,  $\text{NH}_3$  가스의 유량비를 0 sccm부터 40 sccm까지 변화시켰다. 이때 박막의 두께가 IFVD공정에 미치는 영향을<sup>(8)</sup> 제거하기 위해  $\text{SiN}_x$ 의 두께를 100 nm로 고정시켰다.  $\text{SiN}_x$  덮개층의 성장후 전기로를 이용하여 750 °C의 질소분위기에서 4분, 8분, 12분, 16분간 열처리한 후 상온에서의 PL 스펙트럼을 비교하여 청색변이량을 측정하였다. 이때 비교를 위해 300 nm 두께의  $\text{SiO}_2$  덮개층을 시료를 제작하고 이를  $\text{SiN}_x$  덮개층을 갖는 시료와 비교하였다.

그림 1은 40 sccm의  $\text{NH}_3$  유량비에서 성장한  $\text{SiN}_x$  덮개층으로 처리한 시료와  $\text{SiO}_2$  덮개층으로 처리한 시료의 청색변이량을 열처리 시간의 함수로 표시한 것이다. 그림에서 보는 바와 같이 전 열처리 시간에 대해  $\text{SiN}_x$  덮개층의 경우가  $\text{SiO}_2$  덮개층에 비해 청색변이량이 큼을 알 수 있다. 이러한 결과는 다른 연구그룹의 연구결과와 같은 결과이다<sup>(2,3)</sup>. 그림 1에서 또한 알 수 있는 바는  $\text{SiO}_2$  덮개층의 경우 열처리 시간이 증가함에 따라 청색변이량이 포화되는 양상을 보이지만  $\text{SiN}_x$  덮개층의 경우 계속 청색변이량이 증가하는 경향을 보임을 알 수 있다. 이때  $\text{SiN}_x$  덮개층과  $\text{SiO}_2$  덮개층을 이용하여 최대한 얻을 수 국부적 청색변이량의 차이는 44.2 meV이다.

그림 2는 각 열처리 시간에 대해 청색변이량을  $\text{NH}_3$  가스 유량비의 함수로 나타낸 것이다. 그림에서 알 수 있는 바와 같이, 청색변이량은 열처리시간의 증가뿐만 아니라  $\text{SiN}_x$  덮개층 성장시의  $\text{NH}_3$  가

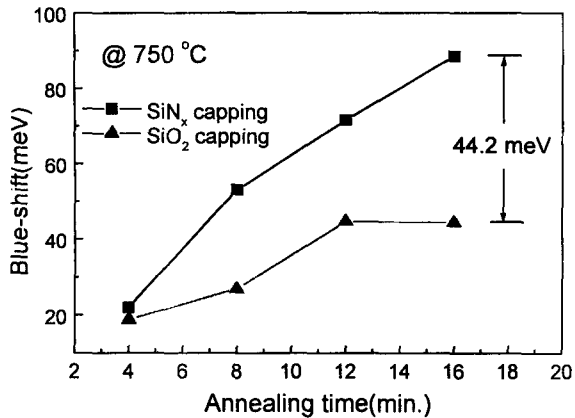


그림 1. SiN<sub>x</sub> 덮개층 및 SiO<sub>2</sub> 덮개층을 갖는 시료의 열처리시간에 따른 청색변이량

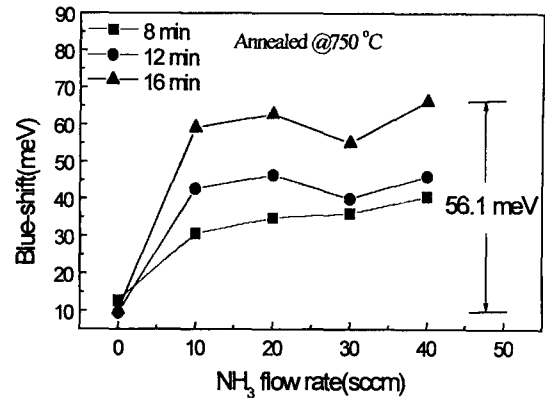


그림 2. 각 열처리 온도에서 NH<sub>3</sub> 가스 유량비에 따른 청색변이량

스 유량비의 증가에 따라 증가함을 알 수 있다. 열처리시간의 증가에 따른 청색변이량의 증가는 양자우물을 구성하는 원자들의 상호확산시간의 증가에 따른 자연스런 결과로 이해될 수 있으며 NH<sub>3</sub> 가스 유량비의 증가에 따른 청색변이량의 증가는 NH<sub>3</sub> 가스 유량비 증가에 따른 SiN<sub>x</sub> 박막내 수소함량의 증가 및 이로 인한 박막내 vacancy 밀도의 증가 때문인 것으로 이해된다<sup>(9)</sup>. NH<sub>3</sub> 가스 유량비가 0 sccm에서 성장한 SiN<sub>x</sub> 박막을 덮개층으로 이용한 경우, 그림 1의 SiO<sub>2</sub> 덮개층의 경우와 비교할 때 매우 적은 청색변이만을 유도함을 알 수 있으며 이로 인해 동일한 SiN<sub>x</sub> 박막을 이용하고도 상대적으로 큰 56.1 meV의 국부적 밴드갭차를 얻을 수 있다. 따라서 결론적으로 본 연구에서 개발된 공정을 이용하는 경우 상이한 박막을 이용하여 국부적 밴드갭 차이를 얻는 기존의 기술에서 발생하기 쉬운 박막의 갈라짐 등의 현상을 예방할 수 있을 뿐만 아니라 보다 큰 밴드갭 차를 국부적으로 실현할 수 있다.

참고문헌

1. H. Ribot, K. W. Lee, R. J. Simes, R. H. Yan and L. A. Coldren, Appl. Phys. Lett. 55, 672 (1989).
2. T. Miyazawa, H. Iwamura, and M. Naganuma, IEEE Photon. Technol. Lett. PTL-3, 421 (1991).
3. Y. Suzuki, H. Iwamura, T. Miyazawa, and O. Mikami, Appl. Phys. Lett., 57, 2745 (1990)
4. J. Beauvais, G. S. Ayling, and J. H. Marsh, IEEE Photon. Technol. Lett. PTL-4, 372 (1993).
5. I. Gontijo, T. Krauss, J.H. Marsh and R. M. De La Rue, IEEE J. of Quantum Electron. QE-30, 1189 (1994).
5. E. L. Allen, C. J. Pass, M. D. Deal, J. D. Plummer and V. F. K. Chia, Appl. Phys. Lett. 59, 3252 (1991).
7. W. J. Choi, J. I. Lee, I. K. Han, K. N. Kang, Y. Kim, H. L. Park and K. Cho, J. Mat. Sci. Lett. 13, 326 (1994).
8. W. J. Choi, S. Lee, J. Zhang, Y. Kim, S. K. Kim, J. I. Lee, K. N. Kang and K. Cho, Jpn. J. Appl. Phys. 34, L418 (1995).
9. W. J. Choi, et al., IEEE J. of Sel. Topics in Quantum Electron., 4, 624, (1998)